

機能ディスクシステム第2版における 結合演算処理の考察

7Q-3

中野 美由紀, 平野 聰, 喜連川 優, 高木 幹雄

東京大学 生産技術研究所

1. 始めに

機能ディスクシステム (Functional Disk System with Relational data base engine : FDS-R) は、プロセッサ本体と二次記憶システム間の I/O ポトルネックの問題に着目し、二次記憶システムを単なる記憶媒体ではなく、それ自身がデータベースとして機能する機能を有する。このようにして、高レベルな処理機能を持つことによって、データを直接的に操作する。また、関係データベースの二つのバッファから複数台を行き来してデータを交換する。特に、大容量データを一度に読み込むためのデータベース用ハードウェア支援による基準化されたデータ構造を用いています。FDS-R の実装では、データベース・マシンと比較して十分高い性能を確認しました。⁽³⁾ 本報告では、FDS-R で採用している大規模リレーションに対する結合演算評価を行った。

2. FDS-R 第2版における処理方式の考察

2.1 測定環境

以下に述べる測定結果は、プロセッサは、MC68020 4 台 (ローカル・メモリ 1MB), ステージング・バッファ 6 MB, 8 インチディスク (NEC D2257) 1 台を用いて計測された。プロセッサ台数は特に記述しない場合には 4 台である。ステージング・バッファは、大きさを変化させて測定する。測定用のデータベースのレコード長は 128 バイト固定である。リレーションのタプル数などはパラメータとして測定毎に変化する。今回の測定では、結合演算の問合せを試作機上に実装されている問合せ解析実行システムのQUEL サブセット・システム⁽²⁾を用いて QUEL ステートメントとして実行している。

結合演算に用いて Nested Loop 方式と Data Partitioning 方式の違いを明らかにするために、それぞれのアルゴリズム毎にリレーション・サイズを変化させて以下の問合せについて測定した。

range of e is relationR

range of f is relationS

```
retrieve into tmp (e.all, f.all) where e.a1 = f.a1 and e.a1 <= α
ここで用いる 2 つのリレーション・サイズは等しい。また、フィルタリング・ファクタは  $\alpha$  によって指定する。
```

2.2 結合演算における解析

図 1, 図 2 にフィルタリング・ファクタ (α) が 0.1 の場合のリレーション・サイズの変化による Nested Loop 方式と Data Partitioning 方式の全処理時間と処理時間の内訳を示す。図 3, 図 4 にフィルタリング・ファクタが 1 の場合の Nested Loop 方式と Data Partitioning 方式の処理時間を示す。ステージング・バッファは 512KB, クラスタ・サイズは平均 10 タップルに設定されている。

Nested Loop 方式の全処理時間は、ディスクからのリレーションの読み出し時間とデータ処理時間（データに対する演算処理時間と結果リレーションの書き戻し時間）から構成されている。さらにフィルタリング・ファクタが小さい場合には内側リレーションのフィルタリング後の書き戻しが行われるため（文献⁽³⁾参照）、内側リレーションの書き戻し時間が入る。今回の計測では図 1 のフィルタリング・ファクタ = 0.1 の場合に内側リレーションの書き戻しが行われている。Data Partitioning 方式の全処理時間は、ディスクからのリレーションの読み出し時間、I/O クラスタ生成時間、I/O クラスタ読み出し時間、データ処理時間（データに対する演算処理時間と結果リレーションの書き戻し時間）から構成されている。I/O クラスタ生成時間は、データをクラスタ化するための前処理時間、データ処理時間、I/O クラスタの書き戻し時間から構成される。また、いずれの方式でもデータの処理は 4 台のプロセッサで並列に処理されるため、データに対するプロセッサ上での演算処理と結果リレーションの書き戻しは並行し

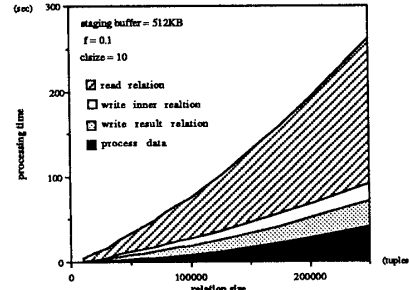


図 1. 結合演算: リレーション・サイズによる処理時間の変化
(f=0.1)
Nested Loop 方式の場合

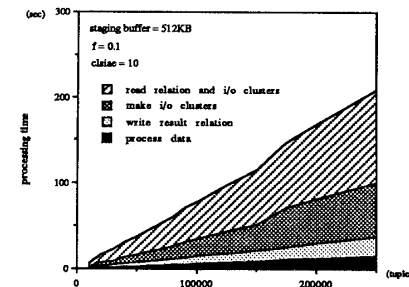


図 2. 結合演算: リレーション・サイズによる処理時間の変化
(f=0.1)
Data Partitioning 方式の場合

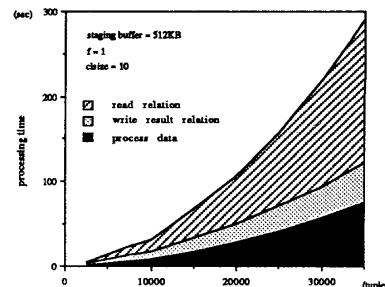


図 3. 結合演算: リレーション・サイズによる処理時間の変化
(f=1)
Nested Loop 方式の場合

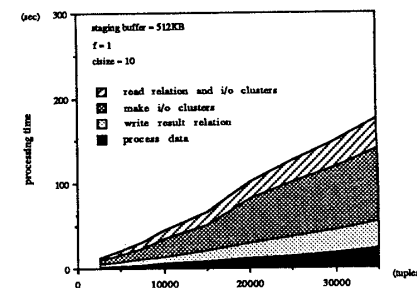


図 4. 結合演算: リレーション・サイズによる処理時間の変化
(f=1)
Data Partitioning 方式の場合

Join Query on FDS-R2

Miyuki NAKANO, Satoshi HIRANO, Masaru KITSUREGAWA, Mikio TAKAGI
Institute of Industrial Science, University of Tokyo

て行われる。今回の図1, 2, 3, 4では、参考のために結果リレーションの書き戻し時間を除いたデータに対する演算処理時間を黒色で示している。

Nested Loop方式では図1, 3からわかるように、リレーションの読み出し時間はリレーションが大きくなるにつれて $O(R*S)$ で増大する。特に図3のフィルタリング・ファクタが1の場合は明らかである。しかし、フィルタリング・ファクタが小さい場合には、2回目からの内側リレーションの読み出しにはフィルタリング後のリレーションを用いるため、図1からリレーションの読み出し時間の増加率が図3と比較して小さいことがわかる。また、データ処理時間もリレーションの読み出し時間同様に $O(R*S)$ で増加していることがわかる。

Data Partitioning方式では、全リレーションとフィルタリング後のI/Oクラスタの読み出し時間を加えたものをディスクからのリレーション読み出し時間として図2, 4に示している。Nested Loop方式と異なりリレーションの読み出し時間はほぼ、リレーション・サイズに比例している。今回の計測では、フィルタリング・ファクタが1の図4の場合に明らかであるが、I/Oクラスタ生成時間が全処理時間の中でも占める割合が高い。これは、一つには、今回のシステムにおいてディスクの読み出し時間より書き戻し時間がほぼ4倍程度かかるためである。つぎにリレーション・サイズが大きくなるにつれて、I/Oクラスタを生成するためのオーバーヘッド時間が増大するためである。つまり、I/Oクラスタを生成するためには、ソース・リレーションを分割し、それぞれの分割片をI/Oクラスタ数分ずつディスクに書き戻すため、書き戻しのオーバーヘッド時間は $O(\text{ソース} \cdot \text{リレーションの分割数} \cdot I/O\text{クラスタ数})$ で増大するためである。図5にステージング・バッファ・サイズを変化させた場合のData Partitioning方式の処理時間を示す。この図からわかるように、ステージング・バッファ・サイズが小さくなるとI/Oクラスタ数とソース・リレーションの分割数がともに増加することによりI/Oクラスタ生成処理時間が増大している。この計測ではリレーション・サイズは一定であるからオーバーヘッド時間の増大によるものであることがわかる。一方、データ処理時間は、Nested Loop方式と異なり、リレーション・サイズにはほぼ比例して増加している。これは、Data Partitioning方式ではすでにI/Oクラスタとしてリレーションが分割されているため、Nested Loop方式のように何回も同じデータを検索する必要がなく、一回のデータのロードで処理できるためである。

以上のことより図2, 4からわかるように全処理時間はData Partitioning方式の場合にはリレーション・サイズにほぼ比例して増加している一方、図1, 図3よりNested Loop方式の場合にはリレーションが大きくなるに従って急激に処理時間が増加しているといえる。さらに今回システムの制約によりディスクへの書き戻しが読み出し時間に比較して遅くなっているのを読み出し時間と同じに補正したものを図6, 7, 8, 9に示す。図6, 8から明らかなようにNested Loop方式の全処理時間は、ディスクの読み出し時間とデータ処理時間がほとんどのため、それほど効果がでないが、図7, 9からわかるようにData Partitioning方式では全体処理時間が小さくなり、大規模リレーションの処理におけるData Partitioning方式の有効性が確認できる。

3. おわりに

機能ディスクシステム(FDS-R)第2版試作機上における結合演算の性能評価について報告した。すでに提案したFDS-R上での関係代数の評価方法を用いることにより、ステージング・バッファを越えるリレーションの結合演算を測定し、Nested Loop方式とData Partitioning方式の処理コストを考察した。

今後、性能評価の一環として大規模データを用いた集計演算、射影演算等の評価を行なう予定である。システムの拡張をめざし、ディスクを複数台用いたFDS-Rのアーキテクチャについても検討を行う予定である。

[参考文献]

- (1) M. Kitsuregawa, et. al., "Functional Disk System for Relational Database," Proc. of 3rd Int. Conf. on Data Engineering, pp. 88-95, 1987
- (2) 中野 美由紀 他: 機能ディスクシステム(FDS-R)における問合せ処理方式 電子通信学会データ工学研究会, DB86-25 (March, 1987)
- (3) 中野 美由紀 他: 機能ディスクシステム第2版における結合演算処理方式 第36回情報処理全国大会, 5B-1(1988)

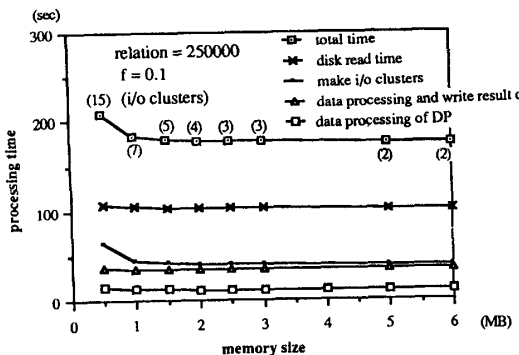


図5. 結合演算: ステージング・バッファ・サイズによる処理時間の変化 Data Partitioning 方式の場合

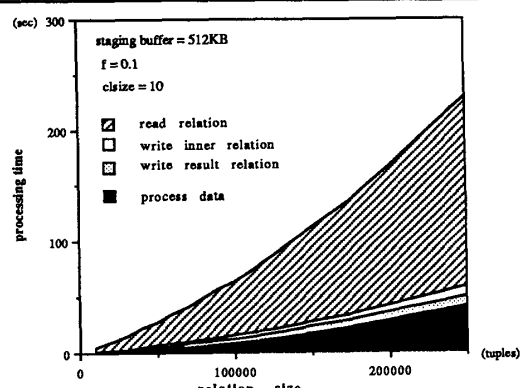


図6. 結合演算: リレーション・サイズによる補正した処理時間の変化 (f=0.1) Nested Loop 方式の場合

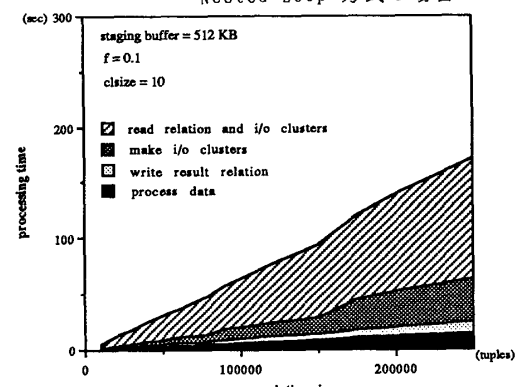


図7. 結合演算: リレーション・サイズによる補正した処理時間の変化 (f=0.1) Data Partitioning 方式の場合

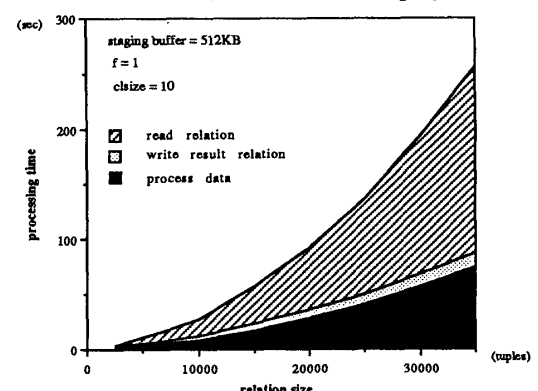


図8. 結合演算: リレーション・サイズによる補正した処理時間の変化 (f=1) Nested Loop 方式の場合

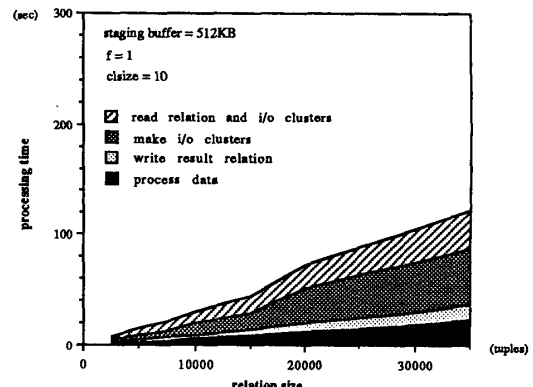


図9. 結合演算: リレーション・サイズによる補正した処理時間の変化 (f=1) Data Partitioning 方式の場合